

# 論文内容の要旨

論文題目: **X-ray and Gamma-ray Study of Solar Flares**  
( 太陽フレアのX線およびガンマ線による研究 )

氏名 松本 縁

太陽フレアは、磁場エネルギーを爆発的に解放し、粒子を加速し、コロナプラズマを加熱して宇宙空間に噴出させる現象である。加速された電子はプラズマと衝突し、非熱的制動放射する一方で、加速された陽子や重元素はイオンと衝突して、 $\gamma$ 線ライン、中性子、 $\pi$ メソン等を生成する。このように、太陽フレアは、同時に電子やハドロンの加速が見られる、宇宙の中で稀な舞台である。

1980年代、SMM衛星によって150以上もの $\gamma$ 線太陽フレアが観測され、粒子加速や $\gamma$ 線放射の理解が深まった。そして1990年代、「ようこう」衛星による高空間分解能の軟X線、硬X線撮像が可能になり、磁気リコネクションの描像が明らかになってきた。本論文では、「ようこう」に搭載される硬X線望遠鏡(HXT)と $\gamma$ 線分光計(GRS)を用い、硬X線像と $\gamma$ 線スペクトルのデータを同時に扱うことにより、 $\gamma$ 線の放射のメカニズムを、世界で初めて空間的に研究する。

GRSは、立教大学によって開発された装置で、2組のBGOシンチレータを用い、0.3–100 MeVの $\gamma$ 線が検出可能である。我々は、1997年以降に1年ごとに行なわれている軌道上キャリブレーションデータを解析し、同時に $\gamma$ 線ラインの顕著な大フレアを用いることで、10年でエネルギーゲインが低下したGRS 2台の新しいChannel-Energyの関係を決定した。これは、1997年以降から現在まで起こった太陽フレア解析のサポートとなる。またHXTは、14–23–53–93 keVの4エネルギー・バンドそれぞれで、すだれコリメータを用いたフーリエ合成法によりイメージングを行なう。100 keVまでの硬X線の領域で、5秒角という高い空間分解能は世界初である。

我々は、「ようこう」打ち上げ後から現在まで過去 10 年間に起こった X 線フレアの中をサーチし、38 個の  $\gamma$  線フレアを見つけ、これらの統計的解析を行なった。軟 X 線から  $\gamma$  線までの 7 つのエネルギー バンド毎のピークカウントの相関図から、HXT-M2 および HXT-H バンドつまり、30 keV 以上の硬 X 線は、 $\gamma$  線と比較的よく相関していることがわかった。このことから、30 keV 以上の硬 X 線と  $\gamma$  線はほぼ同じ放射起源を持ち、空間的にも同じ場所から放射されると考えるのが自然である。したがって、HXT の M2 および H バンドで得られる画像を、 $\gamma$  線放射の画像と考えることができる。

上記の 38 個の  $\gamma$  線フレアの中で一つ、X 線と  $\gamma$  線強度の時間変動が大きく異なる 1998-August-18 フレアに我々は注目した。フレア時間の前半では X 線のみが放射されており、途中で  $\gamma$  線が鋭く強く放射される。 $\gamma$  線放射時に、硬 X 線イメージでどの領域が明るくなるかを調べることで、そこがまさに  $\gamma$  線放射領域であり、 $\gamma$  線放射メカニズムにせまることが可能となる。

HXT 画像から、 $\gamma$  線ピークとともに光るループトップ F 領域が見つかった（図 1）。そこで硬 X 線画像で定義した領域ごとの明るさの時間変動を求めたところ、図 2 のようになり、ループトップ F 領域の時間変動が  $\gamma$  線の鋭いピークをもっともよく反映しており、画像合成の際の洩れ込みに対しても有意な増光を示した。F 以外にも増光を示す D, G すべてを含めたループトップ領域、そして、A, B, C を含むフットポイント領域に大きく分け（図 5）、2 領域の HXT H バンドのライトカーブを求めた結果、図 3 のようになつた。フットポイント領域では gradual 成分が卓越するのに対し、ループトップ領域では impulsive 成分が有意に見られる。

$\gamma$  線 time profile から分離した impulsive 成分と gradual 成分（図 4）についてスペクトルを調べたところ、前者は光子指数 1.4 とハードな、後者は指数 2.2 とわりとソフトな放射とわかった。そこで先の HXT 画像から分離した、ループトップからの impulsive 成分とフットポイントからの gradual 成分を、2 つの  $\gamma$  線成分とともに wide-band スペクトルの形で表示したところ、図 6 のようになった。このように硬 X 線での 2 つの成分は  $\gamma$  線の 2 成分とよく対応しているので、ループトップ領域からは impulsive な硬い放射 (index~1.4) が、フットポイント領域からは gradual な軟らかい放射 (index~2.2) が起こっていると示唆される。

1998-Aug-18 フレアの中で、 $\gamma$  線放射が起きていない時でも、硬 X 線だけが強く増光する時があり、このときの硬 X 線は、光子指数 3.5 の steep なスペクトルを示す。これを上の 2 成分に加えた、次のような 3 成分の解釈を提唱する。ループトップで衝撃加速された電子は、エネルギーの一部をループトップで放射し、これが impulsive な硬い

放射 (index~1.4) に対応する。残りのエネルギーはフットポイントで放射されるが、制動放射の非等方性と光球での多数回のコンプトン散乱の結果、gradual な軟らかい放射 (index~2.2) として観測される。また、ループトップでの 2 次加速を受けずに、リコネクションポイントから直接落ちてきた電子が、フットポイントから硬 X 線のみの光子指数 3.5 の steep な放射を起こす。このように考えると、他の多くのフレアの硬 X 線から  $\gamma$  線にかけての挙動を、統一的に説明できる。

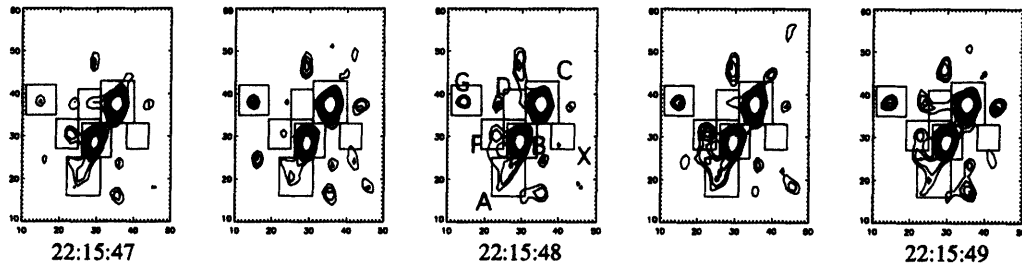


図 1: HXT H バンドでのフーリエ合成画像。ガンマ線ピーク ( $\sim 22:15:48.5$ ) 付近の 0.5 秒毎のイメージ。A, B, C: フットポイント。D, F, G: ループトップ。

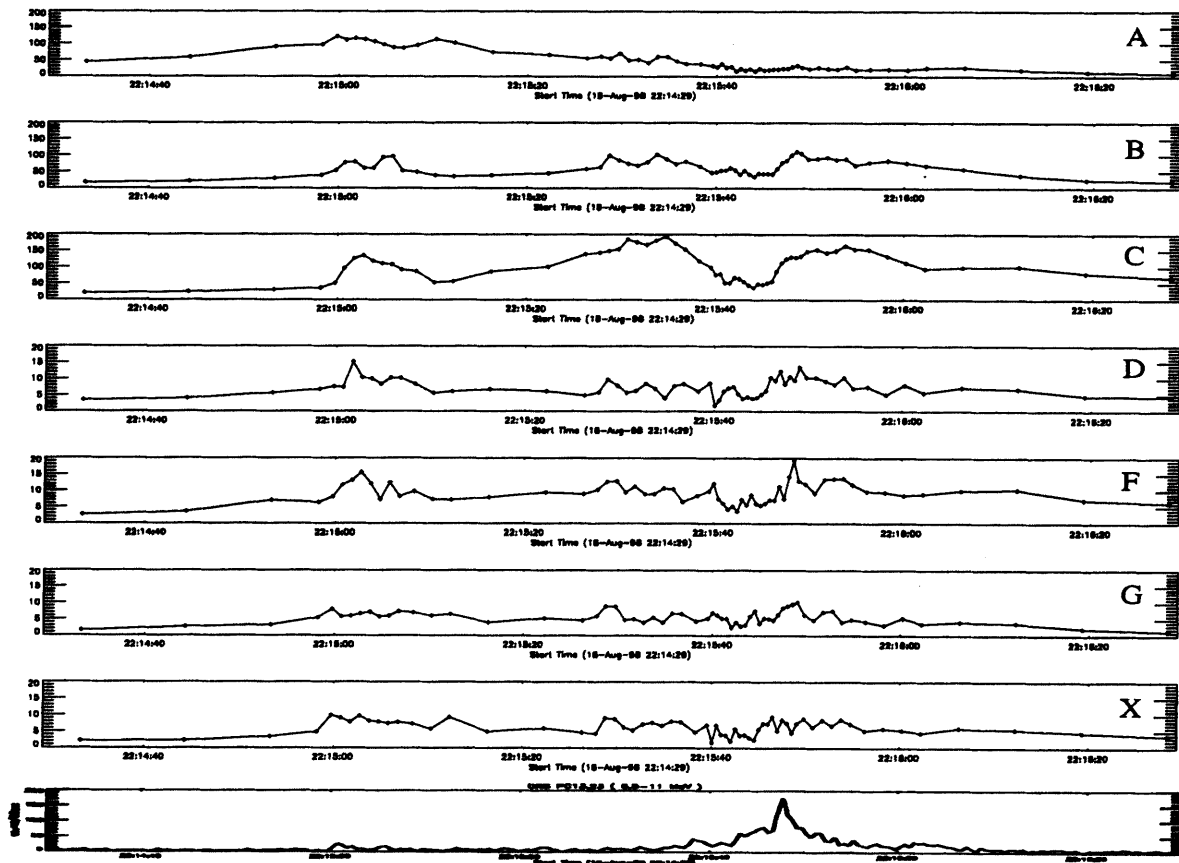


図 2: 図 1 の 7 領域の HXT H バンドのライトカーブと、GRS 6.5–11 MeV time profile。

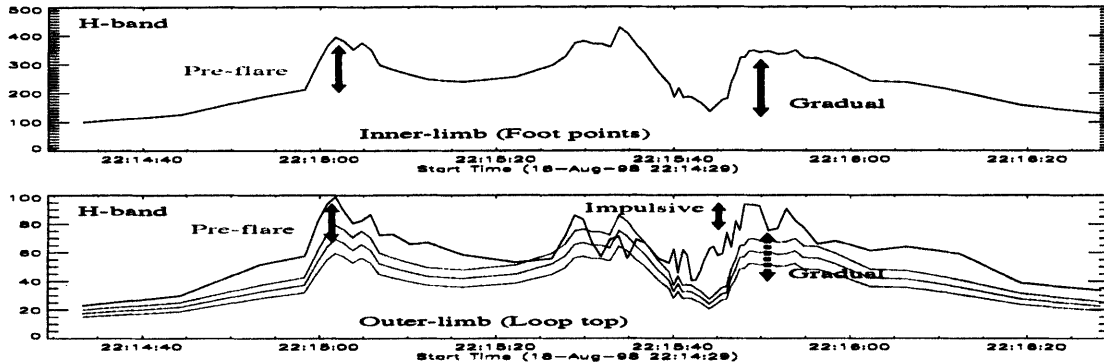


図3: 図5の2領域の、フットポイント領域（上）とループトップ領域（下）の、HXT Hバンドでの明るさの時間変化。フットポイント領域からの流れ込む見積もりとして、15, 17.5, 20%の量を示す（青カーブ）。縦軸の単位 cts/sec/SC。

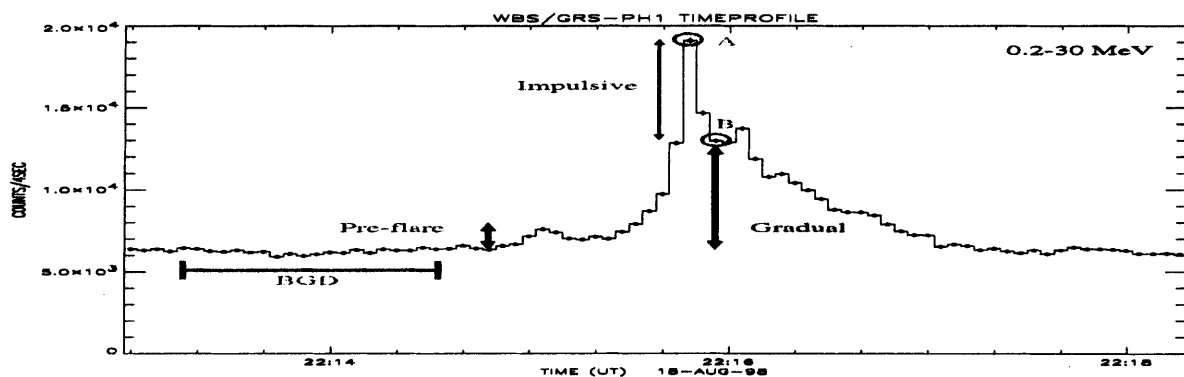


図4: GRS PH で得られたガンマ線のライトカーブ。A-B が impulsive 成分、B-BGD が gradual 成分を表す。

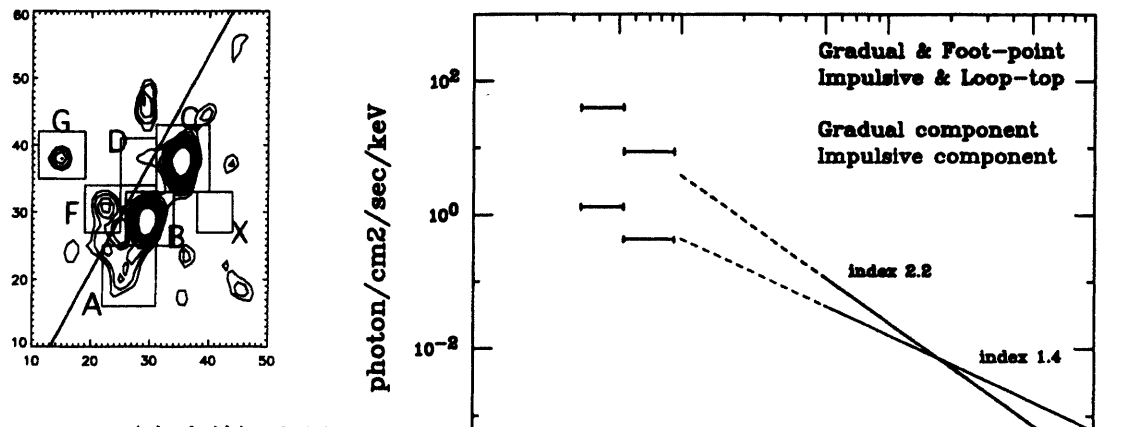


図5: limb（青直線）を用いて、ループトップ領域（左上）とフットポイント領域（右下）に二分割する様子。

図6: 硬X線からガンマ線への wide-band スペクトル。